

工程力学文集

科学出版社

71.212083
233

工程力学文集

A. A. 伊柳辛 主編

严宗达 刘昭培 楊海元 譯

3k670/9

科学出版社

ИНЖЕНЕРНЫЙ СБОРНИК, Том 26

Ответственный редактор А. А. ИЛЬЮШИН
Москва 1958

内 容 简 介

本文集譯自苏联“工程論文集”26卷，共包括板、壳和杆件結構等方面的研究論文29篇，涉及的范围很广泛，例如各向异性壳体的非綫性振动，加劲板和壳的計算及实验，网状圓柱形扁壳，超出弹性极限以外的杆和板的稳定性，被圓孔削弱的正交各向异性板，还有土壤中应力的彈塑性分布及散体力学的一些文章，对结构力学及土力学的研究工作者及工程师有参考价值。

工 程 力 学 文 集

A. A. 伊柳辛 主編
严宗达 刘昭培 楊海元 譯

科学出版社出版 (北京朝阳门大街117号)
北京市书刊出版业营业登记证字第061号

中国科学院印刷厂印刷 新华书店总經售

1963年11月第一版
1963年11月第一次印刷
书号：2886 字数：302,000
(京) 0001—2,750
开本：850×1168 1/32
印张：11 3/8

定价：1.90 元

目 录

正交各向异性旋轉壳的非綫性橫向振动.....	E. Ф. 布尔米斯特洛夫 (1)
关于加強板和壳的計算.....	В. И. 科罗列夫 (24)
在任意边界条件下的非圓閉合柱形壳的計算.....	P. Л. 馬里金娜 (29)
关于对已給形式有初始偏離的壳的計算.....	A. В. 密特罗范諾娃 (46)
关于矩形底扁壳在有限挠度时的弹性平衡問題.....	И. С. 祖爾科夫 (60)
自由的柱形壳体在冲击力作用下的变形.....	Ю. С. 史金涅夫 (68)
网状圓柱形扁壳計算.....	Г. И. 卜申尼奇諾夫 (74)
关于一些包括环形部分的零件的計算.....	A. А. 拉赫勤 (84)
机翼沉箱式稜柱壳体的固有振动.....	А. Н. 耶尔巴切夫斯基 (98)
关于大位移时弹性平衡的两个最简单的問題.....	A. С. 格里高里也夫 (105)
通过若干点相联系的弹性同軸圓柱的計算.....	А. К. 梅金 (108)
关于梁的基本函数的几个求积法.....	Р. Д. 斯切潘諾夫 (116)
对为环所加强的正交各向异性圓柱形壳工作的實驗驗証...	Н. Д. 列維特斯卡娅 (125)
旋轉体的弹性平衡.....	К. В. 沙良尼科-克拉沙 (139)
弹性扇形环体在某些特定荷載情况下的問題的近似解.....	B. М. 留毕莫夫 (171)
柱型各向异性杆在沿杆长均匀分布載荷作用下的弹性平衡	А. И. 烏茲达列夫 (184)
超出弹性极限以外的杆和板的稳定性.....	С. М. 波波夫 (201)

- 被圓孔削弱的正交各向异性板在純弯曲时的应力集中.....
.....B. Б. 里普金 (224)
- 关于有限弹性层的压缩.....Б. Ф. 伏拉索夫 (235)
- 各种边界条件下承受局部静力荷载作用的矩形板的弯曲....
.....H. C. 古耳金 (248)
- 与基础计算相关的土壤中应力之弹-塑性分布的某些问题
.....И. В. 费道罗夫 (256)
- 散体基础承载能力的确定.....З. Н. 布茲考 (269)
- 在复杂荷重下柔韧弹性杆的有限位移的逐次近似的计算法
.....Л. А. 科列斯尼科夫 (287)
- 刚架的稳定性和变形的计算.....
.....B. H. 阿达摩夫, B. H. 卡札札耶夫 (296)
- 关于铰接杆系的稳定性计算.....К. А. 米哈依里琴科 (317)
- 等腰三角形截面的悬臂稜柱杆荷重作用于与对称面垂直的
平面内时的横向弯曲.....И. А. 卡古諾夫 (340)
- B. 3. 伏拉索夫薄壁杆件计算理论的某些推广.....
.....А. А. 捷尔卡切夫 (344)
- 具有任意幂次的正交多项式.....А. А. 波波夫 (352)
- 关于在弹性系统振动时内抗力的一个假设.....
.....А. С. 米良浩维茨基 (358)

正交各向異性旋轉壳的非綫性橫向振动

E. Φ. 布爾米斯特洛夫

(薩拉托夫)

在 Э. И. 格里高留克的工作^[1]中, 研究了各向同性的球形、錐形旋轉壳和平板在考慮有限位移时的振动。

本文把此等問題的解推广到由正交各向异性材料制成的 旋轉壳的情形。并且作为特殊情形, 对波紋板当作各向异性結構进行了研究^[2], 并得到解答。研究包括了考慮有限位移时的自由振动和强迫振动。問題的解是用 И. Г. 布布諾夫方法給出的。

1. 基本方程式 如 [1] 中所已知, 假設沒有徑向慣性力, 各向同性和正交各向异性旋轉壳的平衡方程式有如下形式:

$$(rT_1)' - T_2 = 0 \quad (1.1)$$

$$[rT_1(u + f)']' + (rQ_1)' - \frac{\gamma\delta}{g} r \frac{\partial^2 u}{\partial t^2} + pr = 0 \quad (1.2)$$

$$(rM_1)' - M_2 - rQ_1 = 0 \quad (1.3)$$

(撇号表示对 r 的微商)。

这里 T_1 和 T_2 为子午向及环向的单位長法向內力; Q_1 为单位長剪力; M_1 和 M_2 为单位長弯矩; u 和 w 为中面上点在徑向和軸向的位移; f 为壳的中曲面方程; r 为动点半径; δ 为壳厚; γ 为比重; g 为重力加速度; t 为时间; p 为法向压力。

弹性法向內力和弯矩 (假設材料在周向和徑向对拉伸和弯曲具有不同的刚度, 这对应于結構上各向异性的材料) 与中面变形有下列关系:

$$T_1 = Bk_2(\epsilon_1 + \nu\epsilon_2), \quad T_2 = Bk_2(k^2\epsilon_2 + \nu\epsilon_1) \quad (1.4)$$

$$M_1 = -Dk'_2 \left(\omega'' + v \frac{\omega'}{r} \right), \quad M_2 = -Dk'_2 \left(n^2 \frac{\omega'}{r} + v \omega'' \right) \quad (1.5)$$

式中,

$$B = \frac{E\delta}{(k^2 - v^2)}, \quad D = \frac{E\delta^3}{12(n^2 - v^2)}$$

为拉伸及弯曲的刚度; $k^2 = k_1 k_2$; $n^2 = k'_1 k'_2$; E 和 v 为修正的楊氏模量和泊桑比; ϵ_1 和 ϵ_2 为中面在径向及周向的应变, 它们与 u 和 w 有如下关系:

$$\epsilon_1 = u' + f' w' + \frac{1}{2} w'^2, \quad \epsilon_2 = \frac{u}{r} \quad (1.6)$$

ϵ_1 和 ϵ_2 的大小不能是任意的; 它们由下列协调条件联系着:

$$\epsilon_1 = (r\epsilon_2)' + f' w' + \frac{1}{2} w'^2 \quad (1.7)$$

现在引入力函数 ϕ , 它与法向内力有下式的关系

$$T_1 = -\frac{Dk_2}{b^2} \frac{\phi}{\rho}, \quad T_2 = -\frac{Dk_2}{b^2} \dot{\phi} \quad (1.8)$$

其中 ρ 为无量纲位移, 而点号表示对 ρ 的微商; b 为底半径.

由此可见方程式(1.1)自然得到满足, 而方程式(1.2)积分一次以后化为

$$rT_1(\omega + f)' + rQ_1 + \int \left(p - \frac{\gamma\delta}{g} \frac{\partial^2 \omega}{\partial t^2} \right) r dr = C. \quad (1.9)$$

正如 Э. И. 格里高留克在工作 [1] 中所示出的, 方程(1.9)中的常数 C 可由半径为 r 的封闭性壳体中央部分的平衡条件定出(这部分上作用有法向压力 p 和在壳顶处的集中力 P)且为 $-\frac{P}{2\pi}$.

这样, 方程(1.9)可写为¹⁾

$$rT_1(\omega + f)' + (rM_1)' - M_2 + \int_0^r \left(p - \frac{\gamma\delta}{g} \frac{\partial^2 \omega}{\partial t^2} \right) r dr + \frac{P}{2\pi} = 0 \quad (1.10)$$

下面来进行对方程(1.7)和(1.10)的变换. 由方程(1.4)有

1) 这里和以后我们将部分地按照 Э. И. 格里高留克的表示法.

$$\epsilon_1 = \frac{D}{b^2 E \delta} \left(v \dot{\phi} - k^2 \frac{\psi}{\rho} \right), \quad \epsilon_2 = \frac{D}{b^2 E \delta} \left(v \frac{\psi}{\rho} - \dot{\phi} \right) \quad (1.11)$$

把(1.11)和(1.5)代入(1.7)和(1.10)中,得

$$F_1(\rho, t) = \rho \ddot{\phi} + \dot{\phi} - k^2 \frac{\psi}{\rho} - \frac{1}{m_1} \left(f^* \dot{W} + \frac{1}{2} \dot{W}^2 \right) = 0 \quad (1.12)$$

$$F_2(\rho, t) = \rho W + \dot{W} - n^2 \frac{\dot{W}}{\rho} + \frac{k_2}{k'_2} (\dot{W} + f^*) \psi + \\ + \int_0^\rho \left(\frac{a^2}{k'_2} \frac{\partial^2 W}{\partial t^2} - \frac{p^*}{k'_2} \right) \rho d\rho - \frac{P^*}{2\pi k'_2} = 0 \quad (1.13)$$

式中

$$\left. \begin{aligned} W &= \frac{w}{h}, & f^* &= \frac{f}{h}, & m_1 &= \frac{D}{E \delta h^2} \\ a^2 &= \frac{\gamma \delta b^4}{Dg}, & p^* &= \frac{p b^4}{Dh}, & P^* &= \frac{P b^2}{Dh} \end{aligned} \right\}, \quad (1.14)$$

而 h 为壳的矢高。

2. 正交各向异性扁球壳 运动方程式。设有扁球壳其中面半径为 R , 底半径为 b 。壳由具有柱形各向异性的材料制成(图 1)。

设各向异性轴通过壳顶且与壳

底平面(半径为 b 的圆)垂直。

从中面半径为 R 又底半径为 b 的扁球壳的几何性质求出下列二关系:

$$r^2 = (2R-f)f \approx 2Rf,$$

$$b^2 = (2R-h)h \approx 2Rh \quad (2.1)$$

由此有

$$f = h \left(\frac{r}{b} \right)^2 = h \rho^2. \quad (2.2)$$

我們認為壳的边缘以某种方式固定, 在壳上作用有法向压力 p 和在壳顶处的集中力 P 。

在这种情形, 关于考虑有限位移的弯曲振动問題就化为在壳体对应的边界条件下积分两个非线性方程(1.12)和(1.13)了。

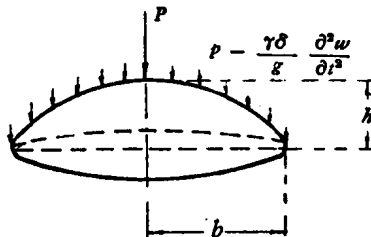


图 1

我們將按 И. Г. 布布諾夫的方法找出問題的解。为此近似給出函数使滿足挠度 w 的所有边界条件。考慮到壳的外边缘沒有軸向位移且为弹性約束；即边缘轉角将和壳边缘上弯矩成正比，亦即

$$\dot{W}(1) = -\alpha \frac{b^2}{Dk_2' h} M_1(1) \quad (1)$$

式中

$$\alpha = \frac{2 - m(n + 1)}{2(3 + v) - (n + 1)(n + v)m}, \quad m = \frac{\lambda + 1}{2\lambda}$$

$$\lambda = \frac{(n + 1)[\alpha(n + v) - 1]}{(3 - n)[\alpha(4 + n + v) - 1]}, \quad n = \sqrt{k_1' k_2'}$$

对于連續旋轉壳，在頂点处 $\dot{W}(0) = 0$ 。取相对挠度 W 为如下形式，可滿足这些条件：

$$W = W_0[1 - (\lambda + 1)\rho^{n+1} + \lambda\rho^4] \quad (2.3)$$

式中 $W_0 = W(0)$ 为壳頂处的挠度。

若壳边缘為刚性固定，则

$$W(1) = 0, \quad \dot{W}(1) = 0, \quad \lambda = \frac{n + 1}{3 - n}, \quad \alpha = 0$$

在边缘為刚性支持的情形有

$$W(1) = M_1(1) = 0, \quad \lambda = \frac{(n + 1)(n + v)}{(3 - n)(4 + n + v)}, \quad \alpha = \infty$$

由方程(1.12)，有

$$\psi = L_1\rho^k + \frac{1}{m_1\rho^k} \left\{ \left[\rho^{2k-1} \int \frac{1}{\rho^k} \left(f^* \dot{W} + \frac{1}{2} \dot{W}^2 \right) d\rho \right] d\rho + L_2\rho^{-k} \right\} \quad (2.4)$$

由在壳頂处法向內力 T_1 应为有限的条件，对于連續壳，可以定出常数 L_2 必須等于零。

将(2.2)及(2.3)代入方程(2.4)并进行积分，我們得到

$$\begin{aligned} \psi = L_1\rho^k &+ \frac{1}{m_1} \left\{ \frac{W_0^2}{6(2m - 1)^2} \left[\frac{48\rho^7}{49 - k^2} - \frac{48m(n + 1)\rho^{n+4}}{(n + 4)^2 - k^2} + \right. \right. \\ &+ \frac{12m^2(n + 1)^2\rho^{2n+1}}{(2n + 1)^2 - k^2} \Big] + \frac{W_0}{3(2m - 1)} \left[\frac{24\rho^5}{25 - k^2} - \right. \\ &\left. \left. - \frac{12m(n + 1)\rho^{n+2}}{(n + 2)^2 - k^2} \right] \right\} \end{aligned} \quad (2.5)$$

常数 L_1 可由壳边缘在径向弹性移动的条件, 即条件

$$U(1) = -\eta \frac{b}{E\delta h k_2} T_1(1), \quad U = \frac{n}{h} \quad (2.6)$$

来确定, 其中

$$\eta = \left(v\rho + \rho^2 \frac{\dot{\psi}}{\psi} \right)_{\rho=1} \quad (2.7)$$

系数 η 具有这样的性质, 当

$$\begin{aligned} \eta &= 0, \quad U(1) = 0; \quad \eta = \infty, \quad T_1(1) = 0; \\ \eta &= v, \quad T_2(1) = 0. \end{aligned}$$

以式(2.5)代入(2.7)得

$$L_1 = -\frac{1}{m_1} \left[\frac{W_0^2}{6(2m-1)^2} R_1 + \frac{W_0}{3(2m-1)} R_2 \right] \quad (2.8)$$

式中

$$\begin{aligned} R_1 &= \frac{48}{k+\eta-v} \left[\frac{\eta-v+7}{49-k^2} - \frac{m(n+1)}{(n+4)^2-k^2} (\eta-v+n+4) + \right. \\ &\quad \left. + \frac{m^2(n+1)^2}{4[(2n+1)^2-k^2]} (\eta-v+2n+1) \right] \end{aligned} \quad (2.9)$$

$$R_2 = \frac{24}{k+\eta-v} \left[\frac{\eta-v+5}{25-k^2} - \frac{m(n+1)}{2[(n+2)^2-k^2]} (\eta-v+n+2) \right] \quad (2.10)$$

所以我們有

$$\begin{aligned} \psi &= \frac{1}{m_1} \left\{ \frac{W_0}{3(2m-1)} \left[\frac{24\rho^5}{25-k^2} - \frac{12m(n+1)\rho^{n+2}}{(n+2)^2-k^2} - R_2\rho^k \right] + \right. \\ &\quad + \frac{W_0^2}{6(2m-1)^2} \left[\frac{48\rho^7}{49-k^2} - \frac{48m(n+1)\rho^{n+4}}{(n+4)^2-k^2} + \right. \\ &\quad \left. \left. + \frac{12m^2(n+1)^2\rho^{2n+1}}{(2n+1)^2-k^2} - R_1\rho^k \right] \right\} \end{aligned} \quad (2.11)$$

找出 ψ 的值 (2.11) 之后, 用 И. Г. 布布諾夫法积分方程式 (1.13), 而因为方程式 (1.13) 是由原始平衡方程經一次积分得到的, 所以它应和由研究壳的能量的变分所建立的式子一样, 不是和挠度 W 正交, 而和它的一阶微商正交。

将表示式 (2.3) 和 (2.11) 代入方程式 (1.13); 对得到的结果乘以

$$\rho^3 - \frac{m(n+1)}{2} \rho^n$$

并对 ρ 在限 0 至 1 之間积分。积分計算以后得到

$$\begin{aligned} & \frac{\partial^2 W_0}{\partial \tau^2} + \psi_1 W_0^3 - \psi_2 W_0^2 + \\ & + (\psi_3 + \psi_4 m_1) W_0 - \psi_5 m_1 p^* - \psi_6 m_2 P^* = 0 \end{aligned} \quad (2.12)$$

式中

$$\left. \begin{aligned} \psi_1 &= \frac{\Theta_{21}}{\Theta_3}, \quad \psi_2 = \frac{\Theta_{22}}{\Theta_3}, \quad \psi_3 = \frac{\Theta_{23}}{\Theta_3}, \quad \psi_4 = \frac{\Theta_1}{\Theta_3}, \\ \psi_5 &= \frac{\Theta_4}{\Theta_3}, \quad \psi_6 = \frac{\Theta_5}{\Theta_3}, \\ \Theta_1 &= + \frac{2k'_2(n-3)}{3(2m-1)} [n+3-3m(n+1)], \\ \Theta_{21} &= + \frac{2k_2}{3(2m-1)^3} \left\{ \frac{48}{49-k^2} \left[\frac{m(n+1)}{n+11} - \frac{1}{14} - \right. \right. \\ & - \frac{m^2(n+1)^2}{8(n+4)} \left. \right] + \frac{48m(n+1)}{(n+4)^2-k^2} \left[\frac{1}{n+11} - \right. \\ & - \frac{m(n+1)}{2(n+4)} + \frac{m^2(n+1)^2}{4(3n+5)} \left. \right] - \frac{6m^2(n+1)^2}{(2n+1)^2-k^2} \times \\ & \times \left[\frac{1}{n+4} - \frac{2m(n+1)}{3n+5} + \frac{m^2(n+1)^2}{4(2n+1)} \right] + \\ & + R_1 \left[\frac{1}{k+7} - \frac{m(n+1)}{n+k+4} + \frac{m^2(n+1)^2}{4(2n+k+1)} \right] \left. \right\}, \\ \Theta_{22} &= + \frac{k_2}{3(2m-1)^2} \left\{ \frac{96}{25-k^2} \left[\frac{1}{12} - \frac{m(n+1)}{n+9} + \right. \right. \\ & + \frac{m^2(n+1)^2}{8(n+3)} \left. \right] - \frac{48m(n+1)}{(n+2)^2-k^2} \left[\frac{1}{n+9} - \right. \\ & - \frac{m(n+1)}{2(n+3)} + \frac{m^2(n+1)}{12} \left. \right] + \frac{48}{49-k^2} \times \\ & \times \left[\frac{1}{12} - \frac{m(n+1)}{2(n+9)} \right] - \frac{48m(n+1)}{(n+4)^2-k^2} \left[\frac{1}{n+9} - \right. \\ & - \frac{m(n+1)}{4(n+3)} \left. \right] + \frac{6m^2(n+1)^2}{(2n+1)^2-k^2} \left[\frac{1}{n+3} - \frac{m}{3} \right] - \end{aligned} \right\} \quad (2.14)$$

$$- R_1 \left[\frac{1}{k+5} - \frac{m(n+1)}{2(n+k+2)} \right] - 4R_2 \left[\frac{1}{k+7} - \frac{m(n+1)}{n+k+4} - \frac{m^2(n+1)^2}{4(2n+k+1)} \right],$$

$$\Theta_{23} = + \frac{k_2}{3(2m-1)} \left\{ \frac{24m(n+1)}{(n+2)^2 - k^2} \left[\frac{1}{n+7} - \frac{m(n+1)}{4(n+2)} \right] - \frac{24}{25-k^2} \left[\frac{1}{5} - \frac{m(n+1)}{n+7} \right] + + 2R_2 \left[\frac{1}{k+5} - \frac{m(n+1)}{2(n+k+2)} \right] \right\},$$

$$\Theta_3 = + \frac{1}{60(2m-1)(n+2)(n+3)(n+7)} \times \\ \times \{ 5(1-2m)(n+2)(n+7)[n+3 - 3m(n+1)] + 30m[4(n+2) - m(n+1)(n+7)] - (n+2)(n+3)[n+7 - 5m(n+1)] \},$$

$$\Theta_4 = + \frac{3m(n+1) - n - 3}{12(n+3)}, \quad \Theta_5 = + \frac{2m-1}{8\pi},$$

$$\tau = \frac{t}{a \sqrt{m_1}} = \frac{th}{b^2} \sqrt{\frac{Eg}{\gamma}}.$$

为了造表,用表 1 中的材料的弹性常数^[3]的值。

表 1

材 料	弹 性 常 数						
	E_1 公斤/厘米 ²	E_3 公斤/厘米 ²	$\nu_1^{(1)}$	$\nu_2 = \nu$	$k_1 = k_1^{(2)}$	$k_3 = k_2'$	
各向异性	0.6×10^5	1.2×10^5	0.036	0.071	1	2	1.41421
各向异性	1.2×10^5	0.6×10^5	0.071	0.036	0.5	1	0.70707
各向同性	0.6×10^5	0.6×10^5	0.036	0.036	1	1	1

1) 原文誤为 ν_2 . ——譯者注

2) 原文誤为 $k_1 = k_2'$. ——譯者注

3) 原文誤为 $k = h$. ——譯者注

在表 2 和表 3 中，引入不同材料在四种边界条件下的系数 R_1 、 $\cdots \psi_4^0$ 等的值。

表 2

夹 住 边			固 定 边		
	$E_1 < E_2$	$E_1 > E_2$	$E_1 = E_2$	$E_1 < E_2$	$E_1 > E_2$
m	0.82843	1.17157	1	0.82843	1.17157
η	∞	∞	∞	0	0
R_1	1.29902	5.56512	3	1.89573	11.32781
R_2	-1.44181	-2.53512	-2	-2.35738	-6.74286
$\Theta_1^{1)}$	5.10532	2.60935	2.66667	5.10532	2.60935
Θ_3	0.01895	0.02938	0.025	0.01895	0.02938
Θ_4	0.02994	0.05154	0.04167	0.02994	0.05154
Θ_5	0.02614	0.05344	0.03979	0.02614	0.05344
Θ_{21}	0.03914	0.05759	0.03571	0.0861	0.18584
Θ_{22}	0.09338	0.14508	0.08333	1.23512	0.5217
Θ_{23}	0.05048	0.06659	0.04444	0.14564	0.31238
ψ_1	2.06544	1.96018	1.42856	4.54354	6.32539
ψ_2	5.24432	4.93381	3.3332	12.40738	17.75698
ψ_3	2.66386	2.26651	1.77778	7.68548	16.6324
ψ_4	269.41002	88.81381	106.66667	269.41002	88.81381
ψ_5	1.57995	1.75425	1.66667	1.57995	1.75425
ψ_6	1.37942	1.81892	1.59160	1.37942	1.81892
m_1^*	0.00247	0.00944	0.00156	0.00291	0.02060
m_1^{**}	0.00659	0.02109	0.00764	0.01339	0.06737
κ_1	3.3548	3.8524	2.9834	3.3548	3.8524
κ_2	0.23668	0.15272	0.19976	0.68288	0.71644
ψ_4^0	11.2545	14.84088	8.90046	11.2545	14.84088
					8.90046

3. 正交各向异性球壳的自由和强迫振动 首先来看正交各向异性球壳的固有线性振动。由方程(2.12)，略去非线性项，得

$$\frac{\partial^2 W_0}{\partial \tau^2} + (\psi_3 + \psi_4 m_1) W_0 = 0. \quad (3.1)$$

方程(3.1)是谐振动的方程。我们将找方程(3.1)下列形式的

1) 原书误为 Θ_2 . ——译者注

表 3

	自由支持边			刚性支持边		
	$E_1 < E_2$	$E_1 > E_2$	$E_1 = E_2$	$E_1 < E_2$	$E_1 > E_2$	$E_1 = E_2$
m	1.71236	4.78649	2.9305	1.71236	4.78649	2.9305
η	∞	∞	∞	0	0	0
R_1	9.95951	133.24368	40.80498	21.70425	417.0650	105.29226
R_2	-4.09363	-13.37998	-7.79150	-8.96068	-49.9071	-21.88175
Θ_1	6.96566	3.70982	3.72572	6.96566	3.70982	3.72572
Θ_3	0.10198	0.2878	0.1826	0.10198	0.2878	0.1826
Θ_4	0.1508	0.46772	0.28298	0.1508	0.46771	0.28298
Θ_5	0.09648	0.34111	0.19341	0.09648	0.34111	0.19341
Θ_{21}	0.09502	0.20385	0.10406	0.4557	1.39543	0.58852
Θ_{22}	0.27478	0.60204	0.30817	1.3623	4.55036	1.85308
Θ_{23}	0.17694	0.3977	0.20311	0.90540	3.29897	1.26695
$\psi_1^{(1)}$	0.93176	0.70831	0.56988	4.46852	4.84861	3.22464
ψ_2	2.69444	2.09187	1.68768	13.3585	15.81084	10.1483
ψ_3	1.7350	1.38186	1.11232	8.87822	11.46272	6.9384
ψ_4	68.30418	12.89027	20.40372	68.30418	12.89027	20.40372
ψ_5	1.47872	1.62512	1.54973	1.47872	1.62512	1.54973
ψ_6	0.94607	1.18523	1.05920	0.94607	1.18523	1.05920
m_1^*	0.00312	0.01262	0.00672	0.01618	0.11068	0.05165
m_1^{**}	0.01262	0.05256	0.02714	0.06491	0.44399	0.18171
κ_1	1.6892	1.4682	1.3101	1.6892	1.4682	1.3101
κ_2	0.60808	0.64156	0.6532	3.11144	5.32168	3.97469
ϕ_4^*	2.8534	2.15398	1.70252	2.8534	2.15398	1.70252

解：

$$W_0 = W_* \cos \omega a \sqrt{m_1 \tau}, \quad (3.2)$$

将(3.2)代入(3.1), 得

$$\omega = \frac{1}{a \sqrt{m_1}} \sqrt{\psi_3 + \psi_4 m_1} = \kappa_1 \frac{\delta}{b^2} \sqrt{\frac{E g}{\gamma}} \sqrt{1 + \kappa_2 \left(\frac{h}{\delta}\right)^2}. \quad (3.3)$$

式中

$$\kappa_1 = \frac{1}{2} \sqrt{\frac{\psi_4}{3(k'_1 k'_2 - v^2)}}, \quad \kappa_2 = 12(k'_1 k'_2 - v^2) \frac{\psi_3}{\psi_4}. \quad (3.4)$$

1) 原书误为 ψ_2 . ——译者注

对于表 1 所述的材料及各种边界条件, κ_1 及 κ_2 之值列于表 2 及 3.

在正交各向异性圆板的情形 ($h = 0$), 对自振频率有

$$\omega = \kappa_1 \frac{\delta}{b^2} \sqrt{\frac{Eg}{\gamma}}.$$

现在我们转过来研究考虑非线性项的自由振动. 令 $V_0 = \frac{\partial W_0}{\partial \tau}$, 得

$$V_0 dV_0 + f(W_0) dW_0 = 0. \quad (3.5)$$

式中

$$f(W_0) = \psi_1 W_0^3 - \psi_2 W_0^2 + (\psi_3 + \psi_4 m_1) W_0. \quad (3.6)$$

积分(3.5)式, 得

$$\frac{1}{2} V_0^2 + \frac{1}{4} \psi_1 W_0^4 - \frac{1}{3} \psi_2 W_0^3 + \frac{1}{2} (\psi_3 + \psi_4 m_1) W_0^2 = \mathcal{J}. \quad (3.7)$$

式(3.7)是总能量; 位能将是

$$\Pi = \frac{1}{4} \psi_1 W_0^4 - \frac{1}{3} \psi_2 W_0^3 + \frac{1}{2} (\psi_3 + \psi_4 m_1) W_0^2. \quad (3.8)$$

研究曲线(3.6). 它的极值发生在

$$W_{0\pm} = \frac{\psi_2 \mp \sqrt{\psi_2^2 - 3\psi_1(\psi_3 + \psi_4 m_1)}}{3\psi_1}$$

处, 且极值为

$$\begin{aligned} f(W_{0\pm}) &= \frac{1}{27\psi_1^2} \{ -\psi_2 [2\psi_2^2 - 9\psi_1(\psi_3 + \psi_4 m_1)] \pm \\ &\quad \pm 2[\psi_2^2 - 3\psi_1(\psi_3 + \psi_4 m_1)] \sqrt{\psi_2^2 - 3\psi_1(\psi_3 + \psi_4 m_1)} \}. \end{aligned} \quad (3.9)$$

当 $W_{0-} = W_{0+}$ 时, 曲线 $f(W_0)$ 有拐点. 这种情形当

$$m_1^{**} = \frac{\psi_2^2 - 3\psi_1\psi_3}{3\psi_1\psi_4} \quad (3.10)$$

时发生.

1) 原书误为 $\frac{1}{4} \psi_2 W_0^4$. ——译者注

在 $V_0 = 0$, $W_0^{(1)} = 0$, $W_0^{(2,3)} =$
 $= \frac{1}{2\psi_1} [\psi_2 \pm \sqrt{\psi_2^2 - 4\psi_1(\psi_3 + \psi_4m_1)}]$ (3.11)

时, 方程式(3.5)将有奇点。

位能曲线由条件 $W_0^{(2)} = W_0^{(3)}$ 所确定的拐点对应于值¹⁾

$$m_1^* = \frac{\psi_2^2 - 4\psi_1\psi_3}{4\psi_1\psi_4}.$$
 (3.12)

对于前面研究过的材料和边界条件, m_1^* 和 m_1^{**} 的值列于表 2 和表 3 中。

位能曲线的极值由下列公式来确定

$$\prod^{(2,3)} = \frac{1}{24\psi_1^3} \left\{ -\psi_2^4 - 6\psi_2^2(\psi_3 + \psi_4m_1)^2 + 6\psi_1\psi_2^2(\psi_3 + \psi_4m_1) \pm \right. \\ \left. \pm \psi_2[\psi_2^2 - 4\psi_1(\psi_3 + \psi_4m_1)]\sqrt{\psi_2^2 - 4\psi_1(\psi_3 + \psi_4m_1)} \right\} \quad (3.13)$$

此外, 下列的挠度表示式也满足极值 $\prod^{(2,3)}$.

$$W_0^{(2',2'')} = \frac{1}{6\psi_1} \left[\psi_2 - 3\sqrt{\psi_2^2 - 4\psi_1(\psi_3 + \psi_4m_1)} \pm \right. \\ \left. \pm 2\sqrt{\psi_2}\sqrt{\psi_2 - 3\sqrt{\psi_2^2 - 4\psi_1(\psi_3 + \psi_4m_1)}} \right]; \quad \left. \right\} \quad (3.14)$$

$$W_0^{(3',3'')} = \frac{1}{6\psi_1} \left[\psi_2 - 3\sqrt{\psi_2^2 - 4\psi_1(\psi_3 + \psi_4m_1)} \pm \right. \\ \left. \pm 2\sqrt{\psi_2}\sqrt{\psi_2 + 3\sqrt{\psi_2^2 - 4\psi_1(\psi_3 + \psi_4m_1)}} \right]. \quad \left. \right\}$$

现在研究正交各向异性球壳的非线性强迫振动。假定法向压力 p^* , 集中力 P^* 和挠度 W_0 有相同的振动频率, 则

$$p^* = p_* \cos \omega t, \quad P^* = P_* \cos \omega t, \quad W_0 = W_* \cos \omega t. \quad (3.15)$$

由于在四分之一周期振动中 W_0 对于方程式(2.12)正交性的要求, 我们得到

1) 公式(3.5)–(3.14)与[1]中Э. И. 格里高留克的公式可以对照比拟。

2) 原书分母误为 $4\psi_1\psi_3$ 。——译者注

3) 原书括号前分母误为 $6\psi_1$ 。——译者注

$$\tau_1^* = 4\pi \sqrt{3(k_1'k_2' - v^2)} \left[\frac{3\psi_1}{4m_1} W_*^2 - \frac{8\psi_2}{3\pi m_1} W_* + \frac{\psi_3}{m_1} + \psi_4 - \frac{\psi_5 p_* + \psi_6 P_*}{W_*} \right]^{-\frac{1}{2}} \quad (3.16)$$

同时振动周期可由下式确定

$$T = \tau_1^* \frac{b^2}{\delta} \sqrt{\frac{\gamma}{E_g}} \quad (3.17)$$

对线性振动，公式(3.4)可由公式(3.16)得到。我们来研究非线性固有振动的周期。在这种情形，在(3.16)中使 $p_* = P_* = 0$ 。我们有

$$\tau_1^* = 4\pi \sqrt{3(n^2 - v^2)} \left[\frac{3\psi_1}{4m_1} W_*^2 - \frac{8\psi_2}{3\pi m_1} W_* + \frac{\psi_3}{m_1} + \psi_4 \right]^{-\frac{1}{2}} \quad (3.18)$$

$$\text{当 } \frac{3\psi_1}{4m_1} W_*^2 - \frac{8\psi_2}{3\pi m_1} W_* + \frac{\psi_3}{m_1} + \psi_4 = 0 \quad (3.19)$$

时，非线性固有振动的周期等于零¹⁾。

解此方程式，得到振幅最大值

$$W_{*\pm} = \frac{16\psi_2}{9\pi\psi_1} \left[1 \pm \sqrt{1 - \frac{27\pi^2\psi_1}{64\psi_2^2} (\psi_3 + \psi_4 m_1)} \right], \quad (3.20)$$

同时，在条件

$$\left. \begin{aligned} [m_1] &= \frac{1}{\psi_4} \left(\frac{64\psi_2^2}{27\pi^2\psi_1} - \psi_3 \right)^2 \\ [W_*] &= \frac{16\psi_2}{9\pi\psi_1} \end{aligned} \right\} \quad (3.21)$$

下，有 $W_{*-} = W_{*+}$ 。

4. 正交各向异性锥壳 在此种情形，相对于壳顶的中面方程式为 [1]

$$f = h\rho \quad (4.1)$$

1) 这里是根据原书译出，但由(3.18)式括号方次为 $-\frac{1}{2}$ ，满足(3.19)式时，周期似应为 ∞ 。——译者注

2) 原书误为 $\frac{1}{\psi_1} \left(\frac{64\psi_2^2}{27\pi^2\psi_1} - \psi_3 \right)$ 。——译者注